

## Черенковские потери и вольт-амперная характеристика в джозефсоновских переходах типа сэндвича

© В.П. Силин, А.В. Студенов

Физический институт имени П.Н. Лебедева Российской академии наук,  
117924 Москва, Россия

E-mail: silin@sci.lebedev.ru

(Поступила в Редакцию 17 июня 1999 г.

В окончательной редакции 20 сентября 1999 г.)

Для джозефсоновского перехода (ДП) между двумя сверхпроводниками конечной толщины дано аналитическое описание покоящихся цепочек вихрей Абрикосова–Джозефсона (АД); получена обусловленная конечной проводимостью и черенковскими потерями вольт-амперная характеристика (ВАХ) для ДП с движущейся цепочкой вихрей АД; установлен закон движения единичного вихря.

Работа поддержана Научным советом по ВТСП (проект № 99002) и Государственной программой поддержки ведущих научных школ (грант № 96-15-96750).

1. Работа [1] вызвала интерес к изучению влияния черенковского излучения в джозефсоновских переходах (ДП) на вольт-амперные характеристики (ВАХ). В то же время работа [1] поставила ряд вопросов, среди которых возможность рассмотрения черенковского излучения коротких волн Свихарта вихрем (или вихревой структурой), мелкомасштабное описание которого строится с помощью традиционного уравнения синус-Гордона, заведомо неточно описывающего внутреннюю структуру вихря, а также не допускающего черенковское излучение [1]. От такого недостатка свободна теория черенковского излучения работ [2–4], в которых рассмотрено тормозящее влияние черенковских потерь на движение отдельного вихря и вихревой цепочки в ДП между массивными сверхпроводниками, а также получены ВАХ, учитывающие влияние проводимости в контактном переходном слое и влияние нормальных электронов в сверхпроводниках (ср. [5]). Однако теория работ [2–4] относится к случаю ДП с большой критической плотностью тока, что не позволяет формально перейти к пределу работы [1], отвечающему небольшой критической плотности тока Джозефсона  $j_c$ . В настоящем сообщении в отличие от работ [2–4] рассматривается черенковское излучение в ДП между сверхпроводниками конечной толщины  $d_s$ . Помимо самостоятельного интереса такая структура сэндвича позволяет также построить формальный переход к теории, слабо отличающейся от той теории, которая основывается на уравнении синус-Гордона. Это, в частности, позволяет установить меру точности подхода работы [1], связанного с теорией ДП между массивными сверхпроводниками.

Изложенное ниже наше рассмотрение черенковского излучения обобщенных волн Свихарта в ДП структуры типа сэндвича позволило найти поле черенковского излучения от движущегося бесконечного цуга вихрей (раздел второй). При этом мы основываемся на уравнении для разности фаз куперовских пар по разные стороны ДП  $\varphi$ , установленном в работе [6]. В данной сообщении

с помощью результатов теории дислокаций [7] впервые записаны статические решения для бесконечных цугов вихрей Абрикосова–Джозефсона (АД) для ДП типа сэндвича. С помощью устойчивого решения, отвечающего случаю ненулевого магнитного поля, установлено поле черенковского излучения, сопровождающего цуг при его движении. Это позволило определить ВАХ ДП типа сэндвича при наличии в нем движущегося цуга вихрей. Третий раздел посвящен обсуждению некоторых простых следствий из общего соотношения, определяющего ВАХ. В четвертом разделе рассмотрен закон движения одного вихря при черенковском возбуждении им волн в ДП. Наконец, пятый раздел содержит обсуждение полученных результатов.

2. В настоящей статье в качестве исходного уравнения для разности фаз куперовских пар  $\varphi$  по разные стороны ДП между двумя бесконечными плоскими сверхпроводниками толщины  $d_s$  используем [6,8]

$$\sin \varphi + \frac{1}{\omega_j^2} \left( \frac{\partial^2 \varphi}{\partial t^2} + \beta \frac{\partial \varphi}{\partial t} \right) - \frac{l}{2d_s} \int_{-\infty}^{+\infty} \frac{dz'}{\operatorname{sh} [\pi(z' - z)/2d_s]} \left( \frac{\partial \varphi}{\partial z'} + \frac{\partial^2 \varphi}{\partial z' \partial t} \right) = 0. \quad (1)$$

Здесь используются следующие обозначения:

$$\omega_j^2 = \frac{16\pi|e|j_c d}{\hbar \varepsilon}, \quad \beta = \frac{4\pi\sigma}{\varepsilon}, \quad \tau = \tau_f \frac{n_n}{n_s},$$

$$l = \frac{\lambda_j^2}{\lambda} = \frac{\hbar c^2}{16\pi|e|j_c \lambda^2},$$

где  $e$  — заряд электрона,  $j_c$  — критическая плотность тока Джозефсона,  $\omega_j$  и  $\lambda_j$  — джозефсоновские частота и длина соответственно,  $\beta$  и  $\tau$  характеризуют диссипацию,  $\sigma$  и  $\varepsilon$  — проводимость и диэлектрическая постоянная вещества несверхпроводящего контактного слоя толщиной  $2d$ , разделяющего сверхпроводники,  $\lambda$  — лондоновская

длина,  $n_n$  и  $n_s$  — концентрация в сверхпроводнике нормальных и сверхпроводящих электронов соответственно,  $\tau_f$  — эффективное время свободного пробега нормального электрона в сверхпроводнике. При написании уравнения (1) принято  $d \ll \lambda$ .

Обратимся к получению ВАХ в ДП типа сэндвича, в котором движется цуг вихрей. Прежде всего приведем здесь статические решения уравнения (1), которые можно записать с помощью результатов теории дислокаций [7]. Это, во-первых,

$$\begin{aligned} \varphi_0(z) &= \pi + 2 \operatorname{arctg} \left( \frac{\operatorname{sn}(z/B, k) \operatorname{dn}(d_s/B, k')}{\operatorname{cn}(z/B, k) \operatorname{cn}(d_s/B, k')} \right) \\ &\equiv \pi + 2 \operatorname{arctg} \left( \frac{\operatorname{sn}(z/B, k)}{\operatorname{cn}(z/B, k)} \operatorname{dn} \left( \frac{id_s}{B}, k \right) \right), \end{aligned} \quad (2)$$

где  $0 < (d_s/B) < K'(k)$  и  $B$  определяется уравнением

$$\frac{l}{B} = \frac{\operatorname{dn}(d_s/B, k') \operatorname{cn}(d_s/B, k')}{k^2 \operatorname{sn}(d_s/B, k')}. \quad (3)$$

Здесь  $\operatorname{dn}(x, k)$ ,  $\operatorname{sn}(x, k)$ ,  $\operatorname{cn}(x, k)$  обозначают эллиптические функции Якоби с аргументом  $x$  и модулем  $k$  ( $0 \leq k \leq 1$ ),  $k' \equiv \sqrt{1-k^2}$ ,  $K'(k) \equiv K(k')$  и  $K(k)$  — полный эллиптический интеграл 1-го рода (см., например, [7]). Во-вторых,

$$\varphi_0(z) = \pi + 2 \operatorname{arctg} \left( \frac{k \operatorname{sn}(z/C, k)}{\operatorname{dn}(z/C, k) \operatorname{cn}(d_s/C, k')} \right), \quad (4)$$

где  $0 < (d_s/C) < K'(k)$  и  $C$  определяется уравнением

$$\frac{l}{C} = \frac{\operatorname{cn}(d_s/C, k')}{\operatorname{sn}(d_s/C, k') \operatorname{dn}(d_s/C, k')}. \quad (5)$$

Убедиться в том, что, например, (2) является статическим решением уравнения (1), нетрудно, как показано в Приложении, если воспользоваться разложением в ряды Фурье.

Вихревой структуре (2) отвечает равное нулю среднее магнитное поле. Подобная структура в ДП обычно неустойчива [9]. Поэтому далее сосредоточим свое внимание на вихревой структуре (2), которой отвечает отличное от нуля среднее магнитное поле  $\bar{H} = (\Phi_0/4\pi\lambda L)$ , где введено обозначение для периода структуры (2)  $2\pi L \equiv 2BK(k)$ , которое будем использовать далее в тексте. В силу этого соотношения предел бесконечно большого периода структуры  $L \rightarrow \infty$  и конечной толщины сверхпроводников  $d_s$  отвечает  $k = 1$ , ибо  $K(k \rightarrow 1) \rightarrow \infty$ . В таком пределе формула (2) переходит в выражение работы [6], описывающее уединенный вихрь в ДП типа сэндвича. В противоположном пределе, т.е. тогда, когда толщина сверхпроводящих электродов бесконечна ( $d_s \rightarrow \infty$ ), а период структуры  $L$  конечен, формула (2) при обозначении  $\alpha = 2(K'(k) - d_s/B)$  переходит в  $\varphi_0 = \pi + 2 \operatorname{arctg} [\operatorname{tg}(z/2L) / \operatorname{th}(\alpha/2)]$ ,  $\operatorname{sh} \alpha = (l/L)$ . Последнее представляет собой известное решение нелокальной джозефсоновской электродинамики, использованное, в частности, в работах [3,4] при построении теории ВАХ в ДП между массивными сверхпроводниками.

Для нахождения ВАХ для ДП с вихревым цугом (2) представим решение уравнения (1) в виде

$$\varphi(z, t) = \varphi_0(s) + \varphi_1(s), \quad \varphi_1(s) \ll \varphi_0(s), \quad (6)$$

где  $s = z - vt$ , а  $\varphi_0(s)$  представляет собой структуру (2), движущуюся со скоростью  $v$ , что является причиной появления возмущения  $\varphi_1(s)$ . Тогда получаем следующее уравнение для  $\varphi_1(s)$ :

$$\begin{aligned} &\varphi_1 \cos \varphi_0 + \frac{v^2}{\omega_j^2} \left( \frac{d^2 \varphi_1}{ds^2} - \frac{\beta}{v} \frac{d\varphi_1}{ds} \right) \\ &- \frac{1}{2d_s} \int_{-\infty}^{+\infty} \frac{ds'}{\operatorname{sh}[\pi(s' - s)/2d_s]} \left( \frac{d\varphi_1}{ds'} - \tau v \frac{d^2 \varphi_1}{(ds')^2} \right) \\ &= - \frac{v^2}{\omega_j^2} \left( \frac{d^2 \varphi_0}{dx^2} - \frac{\beta}{v} \frac{d\varphi_0}{ds} \right) - \frac{\tau lv}{2v_s} \\ &\times \int_{-\infty}^{+\infty} \frac{ds'}{\operatorname{sh}[\pi(s' - s)/2d_s]} \frac{d^2 \varphi_0}{(ds')^2} \\ &\equiv \frac{\beta v}{\omega_j^2 L} + \sum_{n=1}^{\infty} \frac{4v}{L} \frac{q^n}{1 + q^{2n}} \left[ \frac{nv}{\omega_j^2 L} \operatorname{ch} \left( \frac{nd_s}{L} \right) \sin \left( \frac{ns}{L} \right) \right. \\ &\left. + \left\{ \frac{\beta}{\omega_j^2} \operatorname{ch} \left( \frac{nd_s}{L} \right) + \frac{l\tau n}{L} \operatorname{sh} \left( \frac{nd_s}{L} \right) \right\} \cos \left( \frac{ns}{L} \right) \right], \end{aligned} \quad (7)$$

где  $q = \exp(-\pi K'(k)/K(k))$ . Имея в виду черенковское возбуждение коротких волн и пренебрегая отличием  $\cos \varphi_0$  от единицы (ср. [3]), непосредственно получаем решение уравнения (7)

$$\varphi_1 = a_0 + \sum_{n=1}^{\infty} (a_n \cos(ns/L) + b_n \sin(ns/L)). \quad (8)$$

Здесь  $a_0 = (\beta v / \omega_j^2 L)$ ,

$$a_n = \frac{4q^n \omega_n^2 v \Gamma_n}{(1 + q^{2n}) L} \frac{\operatorname{ch}(nd_s/L)}{[\omega_n^2 - (vn/L)^2] + (\Gamma_n vn/L)^2}, \quad (9)$$

$$b_n = \frac{4q^n \operatorname{ch}(nd_s/L)}{n(1 + q^{2n})} \left[ -1 + \frac{\omega_n^2 (\omega_n^2 - [nv/L]^2)}{[\omega_n^2 - (vn/L)^2]^2 + (\Gamma_n vn/L)^2} \right], \quad (10)$$

$$\omega_n^2 = \omega_j^2 [1 + (nl/L) \operatorname{th}(nd_s/L)],$$

$$\Gamma_n = [\beta + (\omega_j^2 \tau nl/L) \operatorname{th}(nd_s/L)]. \quad (11)$$

Предполагая малость диссипации, имеем следующее условие черенковского резонанса:

$$\frac{n_r^2 v_r^2}{L^2} = \omega_j^2 \left[ 1 + \frac{n_r l}{L} \operatorname{th} \left( \frac{n_r d_s}{L} \right) \right], \quad (12)$$

выполняющееся при скорости вихревой структуры  $v = v_r$  для слагаемого ряда (8) с номером  $n = n_r$ , которое далее в тексте называется резонансным слагаемым. Для малых

скоростей  $v$  номер резонансного слагаемого велик. Более того, будем считать, что

$$n_r \gg (L/d_s), \quad n_r \gg (L/l). \quad (13)$$

Тогда из условия черенковского резонанса следует

$$n_r = (L\omega_j^2/v_r^2). \quad (14)$$

Выполнение условий (13) при этом означает выполнение следующего условия на резонансную скорость  $v_r$ :

$$v \ll \omega_j \min(l, \sqrt{ld_s}). \quad (15)$$

Заметим, что условия (13) накладывают на номер  $n_r$  черенковского резонанса условие  $n_r \gg 1$  при выполнении условия

$$L \gg \min(l, d_s). \quad (16)$$

Если  $v = v_r$ , то резонансное слагаемое в (8) с номером  $n = n_r$  имеет вид

$$\varphi_r = \frac{2v_r}{L\Gamma_{n_r}} \exp \left[ -n_r \left( \frac{\pi K'}{K} - \frac{d_s}{L} \right) \right] \cos \left( \frac{n_r s}{L} \right). \quad (17)$$

Вблизи резонанса, когда

$$|v - v_r| < (\Delta v_r/2) = (v_r/4n_r) \ll v_r, \quad (18)$$

резонансное слагаемое записывается в виде

$$\varphi_r = \frac{2v}{L\Gamma_{n_r}} \exp \left[ -n_r \left( \frac{\pi K'}{K} - \frac{d_s}{L} \right) \right] \times \frac{\cos(n_r s/L) - [2n_r(v - v_r)\Gamma_{n_r}^{-1}L^{-1}] \sin(n_r s/L)}{1 + [2n_r(v - v_r)\Gamma_{n_r}^{-1}L^{-1}]^2}. \quad (19)$$

Наиболее важное отличие этого результата от полученного в теории ДП между массивными сверхпроводниками заключается в показателе экспоненты, отражающем влияние конечной толщины сверхпроводящих электродов.

Возможность ограничения в сумме (8) одним резонансным слагаемым обеспечивается выполнением неравенства (см. [3])

$$[\omega_n^2 - (vn/L)^2]^2 \gg [\Gamma_n vn/L]^2, \quad n \neq n_r. \quad (20)$$

Это сводится к условию

$$v_r \gg L\Gamma_{n_r} = L[\beta + (l^2\tau\omega_j^4/v_r^2)]. \quad (21)$$

Наконец, условие малости  $\varphi_r$  по сравнению с  $\varphi_0$  обеспечивается условием

$$\frac{2v}{L\Gamma_{n_r}} \exp \left[ -n_r \left( \frac{\pi K'}{k} - \frac{d_s}{L} \right) \right] \ll 1. \quad (22)$$

С учетом формулы для  $n_r$  (14) и условия на скорость (15) нетрудно убедиться, что для  $\varphi_r$  справедливо неравенство  $|(v^2/\omega_j^2)(d^2\varphi_r/ds^2)| \gg |\varphi_r|$ , оправдывающее

замену  $\cos \varphi_0 \rightarrow 1$  в уравнении (7) при вычислении резонансного слагаемого.

Установив таким образом возможность описания черенковского поля излучения с помощью выражения (19), используем этот результат для нахождения ВАХ. Для этого запишем баланс работы плотности тока  $j$ , протекающего через ДП, и потери энергии вихревой цепочки, обусловленной черенковским излучением (ср. [3,4])

$$\frac{j}{j_c} \int_0^{2\pi L} ds \frac{d\varphi}{ds} = \int_0^{2\pi L} ds \left\{ \frac{\beta v}{\omega_j^2} \left( \frac{d\varphi}{ds} \right)^2 - \frac{l\tau v}{2d_s} \left( \frac{d\varphi}{ds} \right) \times \int_{-\infty}^{+\infty} \frac{ds'}{\text{sh}[\pi(s' - s)/2d_s]} \frac{d^2\varphi}{(ds')^2} \right\}. \quad (23)$$

Отсюда после постановки  $\varphi = \varphi_0 + \varphi_r$  получаем следующую зависимость плотности тока от скорости:

$$\frac{j}{j_c} = \frac{\beta v}{\omega_j^2} R(w, k) + \frac{l\tau v}{2B} \frac{dR(w, k)}{dw} + \frac{2\omega_j^2 l^2 \exp[-(2\omega_j^2 l d_s / v_r^2 w)(K' - w)]}{vL\Gamma_{n_r} \left[ 1 + [2\omega_j^2 l (v - v_r / v_r^2 \Gamma_{n_r})]^2 \right]}, \quad (24)$$

где  $\Gamma_{n_r} = \beta + \omega_j^2 \tau (l\omega_j/v)^2$ ,  $w \equiv (d_s/B) < K'(k)$  и использовано обозначение

$$R(w, k) \equiv \frac{1}{2\pi} \int_0^{2\pi L} ds \left( \frac{d\varphi_0}{ds} \right)^2 = \frac{2}{\pi B} \left[ \left( \frac{\text{dn}^2(w, k')}{\text{cn}^2(w, k')} + \frac{1}{\text{sh}^2(w, k')} \right) \Pi \left( \frac{k^2 \text{sn}^2(w, k')}{\text{cn}^2(w, k')}, k \right) - \frac{1}{\text{sn}^2(w, k')} K(k) + E(k) \right]. \quad (25)$$

При этом  $E(k)$  и

$$\Pi(\mu^2, k) \equiv \int_0^1 d\rho (\rho^2 \mu^2 + 1)^{-1} [1 - \rho^2(1 - \rho^2 k^2)]^{-1/2}$$

— полные эллиптические интегралы 2-го и 3-го рода соответственно. В силу соотношения (3)  $w$  определяется из уравнения

$$\frac{l}{d_s} w = \frac{\text{dn}(w, k') \text{cn}(w, k')}{k^2 \text{sn}(w, k')} \equiv \frac{\text{sn}(K' - w, k')}{\text{cn}(K' - w, k') \text{dn}(K' - w, k')}. \quad (26)$$

Наконец, модуль  $k$  эллиптических функций Якоби определяется уравнением

$$K(k) = \frac{\pi L}{d_s} w \equiv \frac{\Phi_0}{4d_s \lambda \bar{H}} w. \quad (27)$$

Поскольку постоянная разность потенциалов на джозефсоновском переходе, содержащем движущуюся с постоянной скоростью вихревую структуру (2), определяется соотношением

$$V = -\frac{\hbar}{2|e|} \left\langle \frac{\partial \varphi}{\partial t} \right\rangle = \frac{\hbar v}{2|e|L}, \quad (28)$$

где  $\langle \rangle$  обозначает усреднение по периоду  $2\pi L$ , то соотношения (24)–(27) определяют искомую ВАХ. В пределе массивных сверхпроводящих электродов сэндвича, когда  $d_s = \infty$ , соотношения (24)–(27) дают ВАХ работы [4].

3. Обсудим некоторые следствия из общих соотношений (24)–(27) для ВАХ джозефсоновского перехода, в котором движется цепочка вихрей. Сосредоточим свое внимание на случае большого расстояния  $L$  между составляющими цепочку к единице. При этом

$$k' = 4 \exp(-\pi L w / d_s) \ll 1. \quad (29)$$

Если при этом уравнение (26) представлено в виде [10]

$$\begin{aligned} \frac{l}{d_s} w &= \frac{\operatorname{dn}(w, k') \operatorname{cn}(w, k')}{k^2 \operatorname{sn}(w, k')} = \frac{\pi}{2k^2 K'(k)} \\ &\times \left[ \operatorname{ctg} \left( \frac{\pi w}{2K'(k)} \right) - 4 \sum_{n=1}^{\infty} \frac{(q')^n}{1+(q')^n} \sin \left( \frac{\pi n w}{K'(k)} \right) \right], \\ (q') &\equiv q(k') = \exp(-\pi K(k)/K'(k)), \end{aligned} \quad (30)$$

то учитывая  $K'(k) \approx \pi/2$ , а также имея в виду следующую оценку ряда:

$$\begin{aligned} \left| 4 \sum_{n=1}^{\infty} \frac{(q')^n}{1+(q')^n} \sin \left( \frac{\pi n w}{K'(k)} \right) \right| &< 4 \sum_{n=1}^{\infty} (q')^n \\ &= \frac{4(q')}{1-(q')} \cong (k')^2/4 = 4 \exp(-2\pi L w / d_s), \end{aligned} \quad (31)$$

можно вкладом этого ряда пренебречь при условии

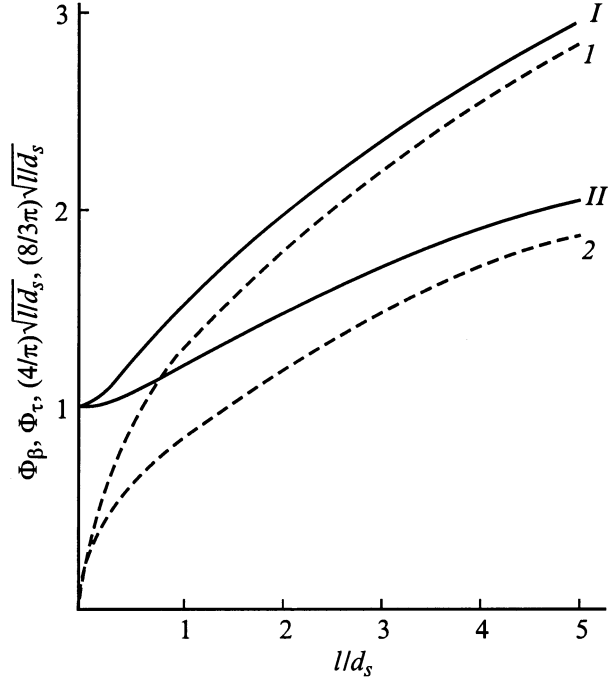
$$4 \exp(-2\pi L w / d_s) \ll (l w / d_s). \quad (32)$$

При этом уравнение (26) принимает следующую простую форму:

$$(l/d_n) w_0 = \operatorname{ctg} w_0, \quad w_0 \equiv (d_s/B_1), \quad (33)$$

отвечающую уравнению (29) работы [6] для отдельного вихря. Использование (33) позволяет получить явные условия на расстояние между вихрями. Так, если  $l \gg d_s$ , то  $B_1 \approx \sqrt{l d_s}$ ,  $w_0 = d_s/B_1 = \sqrt{d_s/l}$ . Если же  $l \leq d_s$ , то  $B_1 \approx d_s$ ,  $w_0 \approx 1$ . Поэтому выполнение неравенств (32) и (29), определяющих возможность использовать уравнения (33) вместо (26), сводятся к следующему:

$$\pi L \gg \max \left[ \sqrt{l d_s}, d_s \ln(4d_s/l) \right]. \quad (34)$$



**Рис. 1.** Зависимость коэффициентов  $\Phi_\beta(w_0)$  (I) и  $\Phi_\tau(w_0)$  (II) от отношения  $(l/d_s)$ ; 1, 2 — функции  $(4\pi)\sqrt{l/d_s}$  и  $(8/3\pi)\sqrt{l/d_s}$ , отвечающие асимптотике коэффициентов  $\Phi_\beta$ ,  $\Phi_\tau$  при  $l \gg d_s$ .

В таких условиях ВАХ (24) принимает вид

$$\begin{aligned} \frac{j}{j_c} &= \frac{\beta v}{\omega_j^2 l} \Phi_\beta(w_0) + \frac{\tau v}{2l} \Phi_\tau(w_0) \\ &+ \frac{2\omega_j^2 l^2}{v L \Gamma_{nr}} \frac{\exp[-(2\omega_j^2 l d_s / w_0 v_r^2)([\pi/2] - w_0)]}{1 + [(2\omega_j^2 l / \Gamma_{nr} v_r^2)(v - v_r)]^2}, \end{aligned} \quad (35)$$

где

$$\Phi_\beta(w_0) = \frac{2}{\pi} \operatorname{ctg} w_0 \left( 1 + \frac{2w_0}{\sin[2w_0]} \right), \quad (36)$$

$$\Phi_\tau(w_0) = \frac{4}{\pi} \frac{\operatorname{ctg}^2 w_0}{\sin[2w_0]} \left( 1 - \frac{2w_0}{\operatorname{tg}[2w_0]} \right). \quad (37)$$

Здесь при предельном переходе от формулы (24) к соотношению (35) использовано, что при  $k' \ll 1$  [10]

$$\begin{aligned} [1 + (k^2/\mu^2)] \Pi(\mu^2, k) - (k^2/\mu^2) K(k) \\ = (1/\mu) \arccos \left( 1/\sqrt{1 + \mu^2} \right). \end{aligned}$$

Зависимость коэффициентов  $\Phi_\beta(w_0)$  и  $\Phi_\tau(w_0)$  от отношения  $(l/d_s)$  изображена на рис. 1.

В пределе тонких электродов  $l \gg d_s$  ВАХ (35) принимает вид

$$\frac{j}{j_c} = \frac{4}{\pi} \frac{\beta v}{\omega_j v_{s,eff}} + \frac{4}{3\pi} \frac{v}{v_{s,eff}} \tau \omega_j^2 + \frac{2v_{s,eff}}{v} \frac{\omega_j}{\Gamma_{nr}} \frac{l}{L} \sqrt{\frac{l}{d_s}} \times \frac{\exp\left[-\pi(v_{s,eff}/v_r)^2 \sqrt{l/d_s}\right]}{1 + [2(v_{s,eff}/v_r)^2(v - v_r)/(\Gamma_{nr} d_s)]^2}, \quad (38)$$

где введено обозначение  $v_{s,eff} = \omega_j \sqrt{l d_s}$ . Только наличие  $v_{s,eff}$  вместо обычной скорости Свихарта  $v_s = \omega_j \lambda_j$  отличает линейное по  $v$  слагаемое в ВАХ (38) от возникающего при балансе энергии для одиночного джозефсоновского вихря локальной теории (ср. [11]). Последнее резонансное слагаемое в ВАХ (38), которое не может возникать в локальной теории, связано с возбуждением вихрем черенковских волн.

Оценим проводимость ДП  $\sigma$ , при которой проявляется резонансное слагаемое в ВАХ (38), причем применительно к случаю достаточно низких температур эффектом от нормальных электронов пренебрежем  $\tau = 0$ . (Влияние нормальных электронов на ВАХ подробно рассмотрено в работе [4]). Тогда резонансное слагаемое в (38) больше линейного по  $v$  слагаемого, если

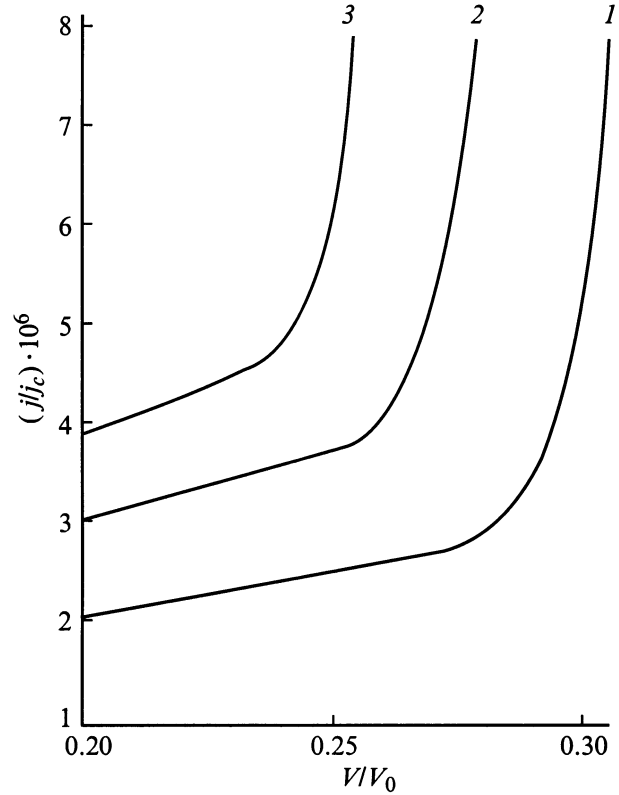
$$\left(\frac{4\pi\lambda\sigma}{c}\right)^2 \frac{l}{d\varepsilon} \equiv \left(\frac{\beta}{\omega_j}\right)^2 < \frac{\pi}{2} \left(\frac{v_{s,eff}}{v}\right)^2 \frac{l}{L} \sqrt{\frac{l}{d_s}} \times \exp\left[-\pi\left(\frac{v_{s,eff}}{v}\right)^2 \sqrt{\frac{l}{d_s}}\right]. \quad (39)$$

Отсюда, если принять  $l/d_s = 5$ ,  $L/l = 10$ ,  $v_{s,eff}/v = 3$ ,  $l/d = 10^2$ ,  $\varepsilon = 10$ , получим  $\sigma_{s-1} \lambda_{\mu m} \leq 10^{-1}$ , где  $\sigma_{s-1}$  — проводимость ДП, измеренная в обратных секундах, а  $\lambda_{\mu m}$  — лондоновская длина, измеряемая в микронах, что отвечает весьма малым проводимостям ДП. Таким образом, в пределе очень тонких электродов, который во многом аналогичен пределу локальной джозефсоновской теории, резонансное слагаемое в ВАХ (38) при малых скоростях (15) проявляется при весьма малых проводимостях ДП.

В качестве иллюстрации зависимости вида ВАХ для не очень тонких сверхпроводящих электродов от отношения  $(l/d_s)$  на рис. 2 приведена при  $\sigma \sim 10^8 \text{ s}^{-1}$  и  $\tau = 0$  огибающая (кривая проходящая через максимумы резонансов) ВАХ (35), имеющая вид

$$\frac{j}{j_c} = \frac{V}{j_c R_s} \frac{L}{l} \left( \Phi_\beta(w_0) + 2 \left( \frac{j_1 R_s}{V} \right)^2 \times \exp\left(-\frac{2V_0^2}{V^2} \frac{[(\pi/2) - w_0]}{\text{ctg } w_0}\right) \right), \quad (40)$$

где  $R_s = (2d/\sigma)$ ,  $V_0 = (\hbar l \omega_j / 2|e|L)$ ,  $j_1 = j_c(l/L)^{3/2}$ . Из рис. 2 следует, что при уменьшении  $d_s$  наклон линейного участка ВАХ растет, а отклонение от линейного закона происходит при меньших напряжениях.



**Рис. 2.** ВАХ ДП с большой критической плотностью тока при  $\tau = 0$ ,  $(l/L) = 10^{-2}$ ,  $(j_1 R_s / V_0) = 10^4$  ( $\sigma \sim 10^8 \text{ s}^{-1}$ ) при различных отношениях  $l/d_s$ . 1 — 0.1, 2 — 1, 3 — 2.

4. Отметим, что в пределе  $L = \infty$  формула (2) переходит в описывающую один вихрь в ДП

$$\varphi_0 = \pi + 2 \arctg \left[ \text{sh}(z/B_1) / \cos(d_s/B_1) \right]. \quad (41)$$

При этом  $(d_s/B_1) \equiv w_0$  определяется уравнением (33). Используя (41) в качестве источника возмущения в уравнении (7) и действуя аналогично работе [2], получаем следующее поле черенковского излучения от одного вихря:

$$\varphi_{ch}(s) = 4\pi \exp\left(\frac{\gamma s}{v}\right) \cos\left(\frac{l\omega_j^2 s}{v^2}\right) \times \exp\left\{-\frac{l\omega_j^2}{v^2} \left(\frac{\pi}{2} B_1 - d_s\right)\right\} \theta(-s), \quad (42)$$

где  $\theta(x) = 1$ ,  $x > 0$ ,  $\theta(x) = 0$ ,  $x < 0$ , а  $\gamma = \beta + (\tau l^2 \omega_j^4 / v^2)$ . Выражение (42) написано в предположении слабого затухания черенковской волны в размере вихря, т.е.  $v \gg (\beta + \tau l^2 \omega_j^2 / v^2) \min(l, \sqrt{l d_s})$ , а малость выражения (42) по сравнению с  $\varphi_0$  (41) обеспечивается малостью скорости (15). Используя поле (42) и пренебрегая затуханием черенковской волны ( $\gamma \rightarrow +0$ ), нетрудно найти поток энергии позади вихря и связанную с этим силу трения, тормозящую вихрь

(см. [1,2]). Предполагая протекание постоянной плотности тока  $j$  через ДП от внешнего источника, которая ускоряет вихрь силой Лоренца  $f_L = \Phi_0 j/c \equiv (\pi \hbar j/|e|)$ , записывая баланс силы трения и силы Лоренца, получим следующую зависимость плотности тока от скорости вихря:

$$\frac{j}{j_c} = 2\pi \frac{l^2 \omega_j^2}{v^2} \exp\left(-\frac{2l\omega_j^2}{v^2} \left[\frac{\pi}{2} B_1 - d_s\right]\right). \quad (43)$$

В пределе массивных электродов  $d_s \gg l$  выражение (43) совпадает с указанным в работе [2]. В пределе тонких пленочных сверхпроводников  $d_s \ll l$  формула (43) переходит в следующую:

$$\frac{j}{j_c} = 2\pi \frac{l^2 \omega_j^2}{v^2} \exp\left(-\frac{\pi \omega_j^2 l \lambda_{j,eff}}{v^2}\right), \quad (44)$$

где введено обозначение  $\lambda_{j,eff} \equiv \sqrt{l d_s}$ . Нетрудно убедиться, что предел  $d_s \ll l$  аналогичен пределу локальной джозефсоновской электродинамики [11]. Так, например, уравнение (1) в этом пределе переходит в уравнение синус-Гордона с диссипацией, а выражение, описывающее один вихрь в ДП (41), — в формулу для обычного джозефсоновского вихря

$$\begin{aligned} \varphi_0(z) &= \pi + 2 \operatorname{arctg}\{\operatorname{sh}(z/\lambda_{j,eff})\} \\ &\equiv 4 \operatorname{arctg}\{\exp(z/\lambda_{j,eff})\}, \end{aligned} \quad (45)$$

причем роль джозефсоновской длины играет  $\lambda_{j,eff} \equiv \sqrt{l d_s}$ .

С учетом приведенного выше замечания зависимости плотности тока от скорости (44) отвечает локальному пределу уравнения (1). Поэтому можно было бы думать об использовании подхода работы [1] для получения формулы (44), когда при линеаризации уравнения (1) вместо точного выражения  $\varphi_0$ , отвечающего формуле (41), подставлялось бы приближенное выражение (45). Однако, как в этом нетрудно убедиться, использование подхода работы [1] приводит в формулах (42) и (44) к существенно большему предэкспоненциальному множителю. Это связано с неточностью решения (45) именно в интересующей нас области малых расстояний, отвечающих коротким волнам, что непосредственно проявляется в линеаризации уравнения (1), когда вместо уравнения (7) возникает уравнение с правой частью, не обращающейся в нуль при  $v = 0$ . Поэтому правильной формулой, определяющей связь тока со скоростью обычного джозефсоновского вихря, является формула (44) с заменой  $\sqrt{l d_s} \equiv \lambda_{j,eff} \rightarrow \lambda_j$ .

5. Подведем итог полученным результатам. Итак, использование решения (41) позволило найти соотношение (43), определяющее связь скорости движения вихря и приводящей его в движение плотности тока через ДП типа сэндвича.

В частности, наша формула (44) для локального предела показала, что использование в работе [1] в таком пределе вместо применяемого нами точного выражения (41) приближенного выражения (45) для вихревого источника, возбуждающего при своем движении черенковские волны, не позволяет найти тот правильный предэкспоненциальный множитель, который возник в (44).

Для построения теории ВАХ в ДП типа сэндвича на основании математической теории дислокаций [7] определена зависимость от координаты разности фаз куперовских пар по разные стороны ДП для бесконечной покоящейся цепочки вихрей с отличным от нуля средним магнитным полем (2). Определены аналогичные выражения для цепочки вихрей с нулевым магнитным полем (4). При использовании (2) найдено общее соотношение, определяющее ВАХ в рассматриваемом ДП. Черенковские потери на излучение обобщенных волн Свихарта определяют ВАХ тогда, когда малы омические потери. Поскольку при низких температурах практически нет нормальных электронов в сверхпроводящих электродах сэндвича, то именно при таких температурах следует искать влияние черенковского излучения на ВАХ.

## Приложение

Убедимся, что выражение (2) является статическим решением уравнения (1). Для этого воспользуемся следующими разложениями в ряды Фурье [10]:

$$\begin{aligned} \frac{d\varphi_0}{dz} &= \frac{2}{B} \frac{\operatorname{dn}(id_s/B, k) \operatorname{dn}(z/B, k)}{[1 - k^2 \operatorname{sn}^2(z/B, k) \operatorname{sn}^2(id_s/B, k)]} \\ &= \frac{1}{B} \left[ \operatorname{dn}\left(\frac{z + id_s}{B}, k\right) + \operatorname{dn}\left(\frac{z - id_s}{B}, k\right) \right] \\ &= \frac{\pi}{BK} + \frac{4\pi}{BK} \sum_{n=1}^{\infty} \frac{q^n}{1 + q^{2n}} \cos\left(\frac{\pi n z}{BK}\right) \operatorname{ch}\left(\frac{\pi n d_s}{BK}\right), \end{aligned} \quad (46)$$

$$\begin{aligned} \sin \varphi_0 &= -\frac{2 \operatorname{dn}(id_s/B, k) \operatorname{sn}(z/B, k) \operatorname{cn}(z/B, k)}{1 - k^2 \operatorname{sn}^2(z/B, k) \operatorname{sn}^2(id_s/B, k)} \\ &= -\frac{\operatorname{dn}(id_s/B, k)}{k^2 \operatorname{sn}(id_s/B, k) \operatorname{cn}(id_s/B, k)} \\ &\quad \times \left[ \operatorname{dn}\left(\frac{z - id_s}{B}\right) - \operatorname{dn}\left(\frac{z + id_s}{B}\right) \right] \\ &= -\frac{\operatorname{dn}(d_s/B, k') \operatorname{cn}(d_s/B, k')}{k^2 \operatorname{sn}(d_s/B, k')} \\ &\quad \times \frac{4\pi}{K} \sum_{n=1}^{\infty} \frac{q^n}{1 + q^{2n}} \sin\left(\frac{\pi n z}{BK}\right) \operatorname{ch}\left(\frac{\pi n d_s}{BK}\right). \end{aligned} \quad (47)$$

Используем далее преобразования

$$\begin{aligned} & \frac{1}{2d_s} \int_{-\infty}^{+\infty} \frac{dz'}{\operatorname{sh}[\pi(z' - z)/2d_s]} \begin{Bmatrix} \cos(nz'/L) \\ \sin(nz'/L) \end{Bmatrix} \\ &= \operatorname{th} \left( \frac{nd_s}{L} \right) \begin{Bmatrix} -\sin(nz/L) \\ \cos(nz/L) \end{Bmatrix}, \end{aligned} \quad (48)$$

где  $2\pi L \equiv 2BK(k)$  представляет период вихревой структуры (2). Тогда из уравнения (1) в качестве условия разрешимости возникает условие (3).

Это подтверждает то, что (2) является решением уравнения (1). Аналогично можно убедиться в справедливости решения (4).

## Список литературы

- [1] R.G. Mints, I.B. Snapiro. Phys. Rev. **B52**, 9691 (1995).
- [2] В.П. Силин, А.В. Студенов. ФТТ **39**, 444 (1997).
- [3] В.П. Силин, А.В. Студенов. ЖЭТФ **113**, 2148 (1998).
- [4] В.П. Силин, А.В. Студенов. ФТТ **41**, 4, 582 (1999).
- [5] Ж.Д. Генчев, В.И. Васьяковский. ЖЭТФ **113**, 955 (1998).
- [6] G.L. Alfimov, A.F. Popkov. Phys. Rev. **B52**, 4503 (1995).
- [7] A. Seeger. Theorie der Gitterfehlstellen, Handbuch der Physik, bd. 17, t. 1, Kristallphysik, Springer Verlag, Berlin–Göttingen–Hedelberg (1955). S. 383.
- [8] А.С. Малишевский, В.П. Силин, С.А. Урюпин. ФТТ **41**, 7, 1154 (1999).
- [9] Г.Л. Алфимов, В.П. Силин. ЖЭТФ **108**, 1668 (1995).
- [10] И.С. Градштейн, И.М. Рыжик. Таблицы интегралов, сумм, рядов и произведений. Наука, М. (1971). С. 1108.
- [11] Yu.S. Kivshar, В.А. Malomed. Rev. Mod. Phys. **64**, 4, 763 (1989).